

**УДК 621.314.26**

**А.А. ШАВЕЛКИН**, д-р тех. наук, проф., ДонНТУ, Донецк  
**Д.Н. МИРОШНИК**, асс., ДонНТУ, Донецк  
**В.В. ПИСАНЮК**, студент ДонНТУ, Донецк

## **ИСПОЛЬЗОВАНИЕ АВТОНОМНОГО ИНВЕРТОРА ТОКА В РЕЖИМЕ ИСТОЧНИКА СИНУСОИДАЛЬНОГО НАПРЯЖЕНИЯ**

Principles of realization of the independent inverter of a current in a mode of a source of a sine wave voltage are presented. Formation of a output voltage in phases is considered at use of relay controllers. The algorithm of control is offered by switches of the inverter of a current, results of modeling on is active-inductive loading are presented.

Представлены принципы реализации автономного инвертора тока в режиме источника синусоидального напряжения. Рассмотрено формирование выходного напряжения на выходе инвертора тока при использовании релейных регуляторов напряжения в фазах. Предложен алгоритм управления ключами инвертора тока, представлены результаты моделирования на активно-индуктивную нагрузку.

Подано принципи реалізації автономного інвертору струму в режимі джерела синусоїдальної напруги. Розглянуто формування вихідної напруги у фазах при використанні релейних регуляторів. Запропонованій алгоритм керування ключами інвертору струму, подані результати моделювання на активно-індуктивне навантаження.

**Введение.** Регулируемый электропривод (ЭП) является неотъемлемым элементом системы энергосбережения. В значительной степени это касается ЭП переменного тока большой мощности, где используются высоковольтные асинхронные двигатели. При этом на первый план выходят вопросы качества преобразования энергии и к преобразователю частоты (ПЧ) предъявляются повышенные требования. Для высоковольтного ЭП переменного тока "классическим" решением стало использование каскадных многоуровневых преобразователей частоты (МПЧ) типа "Perfect Harmony" [1, 2]. Более простое и перспективное решение возможно на базе автономного инвертора тока (АИТ) с выходным емкостным фильтром при использовании ШИМ [1-4]. Тем более что форма напряжения близкая к синусоидальной обеспечивается во всем диапазоне регулирования выходной частоты  $f_{\text{вых}}$ . Известны решения высоковольтных ПЧ (ВПЧ) на базе АИТ [2], которые доста-

точно успешно конкурируют с МПЧ, например, Power Flex 7000 (фирма "Rockwell Automation").

Известные решения применительно АИТ [1-4] ориентированы на формирование тока. Вместе с тем, вопрос использования АИТ в качестве источника синусоидального напряжения на данный момент времени изучен недостаточно. Проблема упрощения силовых цепей ВПЧ при соответствии показателей качества выходного напряжения и входного тока стандартам [5] на данное время остается актуальной. Ее решение будет способствовать расширению областей применения ВПЧ. Вместе с тем, перспективным является использование ПЧ на базе АИТ и в низковольтном электроприводе, где они вполне смогут конкурировать с "классическим" решением на базе двухуровневого инвертора с активным выпрямителем напряжения.

**Цель работы** – разработать принципы использования АИТ в режиме источника синусоидального напряжения.

**Изложение основного материала.** Схема трехфазного АИТ на запираемых по цепи управления ключах  $K1-K6$  приведена на рис. 1. Независимо от используемого алгоритма АИТ формирует на выходе ток  $i_H$  импульсной формы, который является суммой токов конденсатора  $i_C$  и нагрузки  $i_H$  ( $i_H = i_C + i_H$ ). Выходное напряжение АИТ при этом имеет форму близкую к синусоидальной. При пульсирующем выходном токе АИТ емкостной фильтр существенно меняет его режим работы,

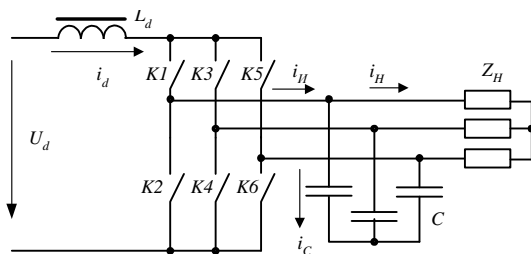


Рис.1. Структура силовых цепей АИТ.

ты, что усложняет задачу получения синусоидального тока нагрузки. Предложен принцип управления АИТ в режиме источника синусоидального выходного напряжения. При этом в схеме используется три реальных регулятора

напряжения для каждой из выходных фаз АИТ, для которых задается отклонение  $\delta$  выходного фазного напряжения  $u_\Phi$  относительно заданного значения  $u_{\text{зад}}$ . Так для положительной полуволны  $u_\Phi$ , если  $u_\Phi < u_{\text{зад}} + \delta$  формируется сигнал  $P=1$  на включение ключа, обеспечивающего протекание в выходной фазе АИТ тока  $i_H$  положительной полярности, в противном случае  $P=0$ . Для отрицательной полуволны  $u_\Phi$  аналогичным образом формируется сигнал  $N$  на включение ключа,

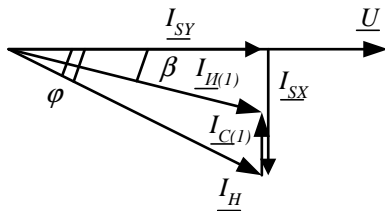


Рис. 2. Векторная диаграмма для выходной фазы АИТ.

двуих или трех плечах моста; б) следует исключить к.з. нагрузки, когда замкнуты 3 ключа АИТ, подключающие выходы к одному зажиму источника; в) при использовании бестоковых пауз для регулирования выходного тока следует замыкать ключи одного плеча для протекания тока источника.

Период  $u_{\Phi}$  (рис. 3) разбит на шесть интервалов ( $\tau_1 \dots \tau_6$ ). На интервале  $\tau_1$  токи в выходных фазах  $a$  и  $c$  положительны и формируются отпиранием ключей  $K1$  и  $K5$  соответствующими релейными регуляторами ( $P_a$  и  $P_c$ ). Ток в фазе  $b$  при этом отрицательный и протекает через постоянно открытый ключ  $K4$ . При запирании  $K1$  и  $K5$  отпирается ключ  $K3$  в фазе  $b$ , обеспечивая протекание  $I_d$  через ключи  $K3$  и  $K4$ . Напряжения управления ключами:

$$\begin{aligned} K1 &= (P_a \wedge \tau_1) \vee \tau_2 \vee (P_a \wedge \tau_3) \vee \tau_5 \wedge (\overline{P_b \vee P_c}); \\ K2 &= (N_a \wedge \tau_4) \vee \tau_5 \vee (N_a \wedge \tau_6) \vee \tau_2 \wedge (\overline{N_b \vee N_c}); \\ K3 &= (P_b \wedge \tau_3) \vee \tau_4 \vee (P_b \wedge \tau_5) \vee \tau_1 \wedge (\overline{P_a \vee P_c}); \\ K4 &= (N_b \wedge \tau_6) \vee \tau_1 \vee (N_b \wedge \tau_2) \vee \tau_4 \wedge (\overline{N_a \vee N_c}); \\ K5 &= (P_c \wedge \tau_5) \vee \tau_6 \vee (P_c \wedge \tau_1) \vee \tau_3 \wedge (\overline{P_a \vee P_b}); \\ K6 &= (N_c \wedge \tau_2) \vee \tau_3 \vee (N_c \wedge \tau_4) \vee \tau_6 \wedge (\overline{N_a \vee N_b}). \end{aligned}$$

Данный алгоритм предполагает минимальное количество переключений ключей, поскольку в течение 1/6 периода выходной частоты переключения отсутствуют и ключ открыт постоянно.

Значение тока  $I_d$  на входе АИТ задается исходя из следующих соображений. Минимальное значение, при котором достигается отработка заданного значения выходного напряжения АИТ определяется первой гармоникой выходного тока  $I_{d\min} = I_{um(1)}$ . Это соответствует коэффициенту модуляции по амплитуде  $\mu=1$  и минимальному количеству переключений ключей АИТ.

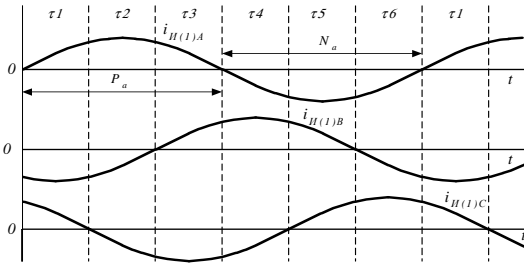


Рис. 3. Принцип формирования выходного напряжения АИТ.

$$P_d = U_d \cdot I_d = 3U_\Phi \cdot I_{\text{И}(1)} \cos \beta.$$

$$\text{Значение } I_{\text{И}(1)} = \frac{I_{\text{И}m(1)}}{\sqrt{2}} = \frac{I_d}{\sqrt{2}}.$$

$$\text{Отсюда } U_d = \frac{3}{\sqrt{2}} U_\Phi \cos \beta = 2.12 U_\Phi \cos \beta.$$

Если на входе АИТ в качестве источника тока используется трехфазный мостовой выпрямитель, максимальное значение  $U_d = 2.34 U_{\Phi C}$  ( $U_{\Phi C}$  – фазное напряжение сети переменного тока). Таким образом, реализация преобразователя частоты на базе АИТ возможна при прямом подключении к сети без трансформатора и имеется возможность увеличения напряжения АИТ, например, при увеличении частоты выходного напряжения свыше 50 Гц.

При увеличении значения  $I_d > I_{d\min}$  коэффициент модуляции  $\mu$  уменьшается при неизменном значении  $I_{\text{им}(1)}$ . Таким образом, система адаптивна по заданию и не требует точного расчета значения тока  $I_d$ , как это осуществляется в известных системах с работой АИТ в режиме источника тока [3, 4]. Это же можно предположить и по отношению к значению угла  $\beta$  – система сохраняет работоспособность, разве что при некотором ухудшении формы напряжения. Вместе с тем, при снижении  $\mu$  частота переключения ключей растет, что приводит к увеличению потерь энергии в них.

Частота переключения ключей АИТ (частота модуляции  $f_M$ ) также определяется заданным значением отклонения  $\delta$  и растет при его уменьшении. И здесь нужен разумный компромисс между достигаемым качеством выходного напряжения (достигается при уменьшении

При этом напряжение на входе АИТ  $U_d$  максимальное, его значение можно определить исходя из равенства активной мощности на входе и выходе АИТ (потерями в схеме АИТ пре-небрегаем)

δ), выбором значения  $I_d$  и частотой переключения ключей.

Скорость изменения выходного напряжения АИТ определяется емкостью конденсатора выходного фильтра. Естественным является желание ее уменьшить, но это опять же приводит к увеличению частоты переключения ключей АИТ.

Применительно высоковольтных ПЧ при использовании ключей на высокие напряжения частота должна быть минимальной, для низковольтных ключей с малыми потерями переключения ограничения по частоте не являются определяющими.

**Результаты моделирования** при использовании программного пакета MATLAB подтверждают корректность принятых подходов и работоспособность предложенных решений. Рассматривалась отработка АИТ выходного напряжения при различных значениях параметров схемы и настройке релейного регулятора напряжения. В табл. 1 приведены показатели работы схемы АИТ при  $RL$  – нагрузке с  $Z_H=10$  Ом,  $\cos\phi=0.8$ , емкости фильтра  $C=90$  мкФ и различных значениях тока  $I_d$  при частоте выходного напряжения  $f_{\text{вых}}=50$  Гц.

Таблица 1 – Результаты моделирования

$I_d$ , А	$f_M$ , Гц	$THD_U$ , %	$THD_i$ , %	$U_\Phi/U_{\text{ЗАД}}$ , %
100	450	3.37	1.07	95
106	650	3.17	0.57	98
110	1100	1.92	0.37	99
140	1650	1.84	0.25	99.36

При этом значение угла  $\beta=21.5^\circ$  (задавалось значение  $\beta=\pi/8=22.5^\circ$ ). Заданное значение  $U_m=1250$  В,  $\delta=40$  В. Значение  $I_{d\min}=106$  А. Коэффициент гармоник ( $THD$ ) определялся для гармоник с порядком до 40. Для сравнения в [4] достигается коэффициент гармоник тока  $THD_i=1.56\%$ . Осциллограммы выходного напряжения АИТ ( $u_\Phi$ ), напряжения задания для ключа  $K1$ , выходного тока фазы инвертора  $i_i$  и тока фазы нагрузки  $i_H$  при  $f_{\text{вых}}=50$  Гц приведены на рис. 5.

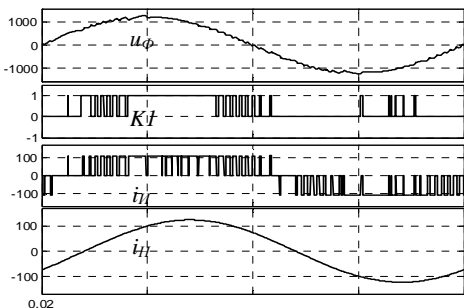


Рис. 5. Осциллограммы выходного напряжения, напряжения задания ключа  $KI$  и токов АИТ при  $f_{вых}=50$  Гц.

**Выводы.** Предложенный принцип управления АИТ с формированием выходного напряжения обеспечивает работу АИТ в режиме источника синусоидального напряжения, гармонический состав которого соответствует стандарту [5] во всем диапазоне регулирования выходного напряжения и частоты. Предметом дальнейших исследований является разработка принципов реализации структур систем автоматического управления АИТ в режиме источника напряжения применительно асинхронного электропривода.

**Список литературы:** 1. Шрейнер Р.Т. Математическое моделирование электроприводов переменного тока с полупроводниковыми преобразователями частоты // Екатеринбург: УРО РАН, 2000. – 654 с. 2. Лазарев Г. Преобразователи для частотно-регулируемого электропривода / Г. Лазарев // Силовая электроника. – 2008. – №8(132). – С. 14-23. 3. Волков А.В. Асинхронный электропривод на основе автономного инвертора тока с широтно-импульсной модуляцией / А.В. Волков, А.И. Косенко // Технічна електродинаміка. – Кій: ІЕД НАНУ. – 2008. – Тематичний. вип. – Ч. 1. – С. 81-86. 4. Волков А.В. Исследование энергетических показателей асинхронного электропривода на основе автономного инвертора тока / А.В. Волков, А.И. Косенко // Електротехнічні та комп’ютерні системи. – К: Техніка. – 2011. – №(03) 79. – С. 40-41. 5. ГОСТ 13109-97. Нормы качества электрической энергии в системах электроснабжения общего назначения.

Надійшла до редколегії 04.04.2012.  
Рецензент д.т.н., проф. Лутіков В.С.